无线传感器网络的分簇拓扑控制算法研究

刘华军¹ LIU Huajun

摘要

在层次型分簇拓扑控制算法的基础上,提出非均匀分簇 EBUC 的拓扑控制算法,建立无线传感网络内的多个非均匀节点簇,设置靠近基站的簇规模更小、远离基站的簇规模更大,同时合理选择簇首节点、设置节点非均匀竞争半径,采取簇间多跳路由机制,使能量水平较高的节点选择基站附近能量高的节点进行数据转发,以最大程度节省网络能量、延长网络生命期。仿真实验表明,相比于其他算法而言,分簇拓扑控制算法的节点簇拓扑稳定性、能耗均衡性更加优秀。

关键词

无线传感器网络;分簇拓扑控制算法;多跳路由;能量均衡控制

doi: 10.3969/j.issn.1672-9528.2024.04.034

0 引言

在远基站节点簇的通信过程中,存在着簇间或簇内节点能耗不均、发射功率控制不当、覆盖区通信干扰等问题,使得网络通信能耗不均匀。基于 EBUC (energy-balanced unequal clustering algorithm) 非均匀分簇的拓扑控制算法,是在无线传感器网络中,搭建起非均匀分簇拓扑结构、多跳路由的传输选择机制,根据簇节点自身能量、节点到基站间的距离,动态设置不同簇半径、簇规模的大小,调节簇节点的簇首、信息发射功率,保证各簇覆盖区域内的网络拓扑结构合理性、簇间多跳路由通信能耗的均匀性。

1 无线传感器网络的关键技术及系统组成结构

1.1 无线传感器网络的核心支撑技术

无线传感器网络作为自组织、分布式的多跳性网络,通常依托于数据链路层协议,以及定位技术、拓扑控制技术等的核心技术,建立起包含多个网络节点簇的数据传输拓扑结构。[1]

(1) 网络通信协议。针对无线传感器网络提出的数据链路层协议,包括 CSMA 多路访问机制、基于竞争/预约的MAC 控制协议。其中 CSMA 多路访问协议的基本原理是,网络节点对通信信道进行监听、监听时间间隔为 IFS,若 IFS时间内网络信道空闲,则可展开数据传输;若网络信道被占用,则推迟并等待空闲时的数据传输。

MAC 介质访问控制协议是网络分层路由协议,采取周期性侦听与睡眠、多跳感知的数据传输方式,网络节点在一定时间监听无线信道、其他时间进入睡眠,周期性的调度自

身时间表、决定是否发送数据;在网络节点发送数据分组时, 会先进行信道载波侦听,选择未进入睡眠状态的节点构成多 跳通信路径,保证多跳网络分组传输的时延。

- (2) 定位技术。无线传感器节点位置的定位技术包括测距(range-based)定位算法、分布式无测距(range-free)定位算法,通过网络通信节点间距离、角度信息的测量,最大精度估计被测节点的所处位置。通过利用以上节点定位算法多次测量,可获取无线传感器网络中,被测节点的绝对或相对位置。
- (3) 拓扑控制技术。拓扑控制为无线传感器网络的关键技术,根据网络节点是否可移动,分为动态、静态传感器节点控制。在保障网络连通、节点覆盖质量的前提下,利用 COMPOW、DLMST、LEACH等拓扑控制算法,建立起传感器网络拓扑结构的发射功率控制、MAC 层级控制方案,完成不同网络节点发射功率、睡眠调度、能量消耗的部署与控制。

1.2 无线传感器网络系统组成结构

无线传感器网络由多组传感器节点(sensor node)、汇聚节点(sink)、基站网络、远程监控中心等的结构组成,具体系统架构如图 1 所示。其中无线传感器节点为嵌入式结构,属于网络系统的数据采集与通信模块,包含环境感知、通信协议控制、数据处理控制、电源供给等组成构件,通常采取人工布置、飞机布设方式,进行监测区域内的无线传感器节点布设。^[2] 而汇聚节点、网络基站等装置,主要负责采集监测区域环境内的节点数据传送,将有效信息通过多个设备传送至远程管理中心。与此同时,远程管理中心也可将网络配置数据发送至基站,由基站进行传感器节点的配置与管理。

^{1.91550} 部队 辽宁大连 116023



图 1 无线传感器网络系统组成结构

sink 节点为无线传感器网络的汇聚节点,相较于其他传 感器节点而言,有着更高的数据处理、传输能力,且能够缓 存部分的节点数据信息。远程监控中心则为 sink 节点数据的 处理分析中心,负责网络拓扑控制、数据链路质量管理,利 用非均匀分簇 EBUC 算法、多跳路由通信机制,设置 QoS 链 路队列、网络数据传送带宽,控制网络节点的启动/休眠状态、 信道通信传输时间,以便于降低网络节点能耗、延长数据传 输的生命周期,实现无线传感器信道的数据安全稳定传输。

2 无线传感器网络传统的拓扑控制算法

2.1 无线传感网络的功率控制算法

无线传感器网络中存在多个节点、节点簇,单一节点若 拥有足够大的发射功率,就可与其他任意的邻节点进行通信, 但若某一节点的发射功率过大,则其本身的数据传输能量消 耗将越快、节点间相互干扰越强, 也会造成传感器网络信道 通信的拥堵问题[3]。为解决以上问题,传统的无线传感器网 络数据传送控制方案是采用 LMA 算法、LMN 算法等拓扑控 制方案,对节点的数据发射功率进行调节控制。

无线传感网络的功率控制算法包括 LMA、LMN 的拓扑 控制算法,是基于节点度(一跳节点子树数目)的发射功率 控制算法。如 LMA (local mean algorithm) 本地平均算法, 属于基于节点度的功率控制算法,首先预设节点度的上下限 值分别为 T_{max} 、 T_{min} , 当网络节点的节点度小于 T_{min} 时,增大 其发射功率; 当网络节点的节点度大于 T_{max} 时,减小其发射 功率, 计算公式为:

$$\begin{split} P_{\text{max}} &= \{A_{\text{dec}} \cdot (1 - (N - T_{\text{min}})) \cdot P_{T_0} \} \\ P_{\text{min}} &= \{A_{\text{dec}} \cdot (T_{\text{min}} - N) \cdot P_{T_0} \} \end{split} \tag{1}$$

式中: P_{max} 、 P_{min} 分别表示增大、减小的节点发射功率; A_{dec} 表示能量消耗率; P_{r_o} 表示原始节点发射功率; N 表示原始节 点度数。该算法在信道数据通信中, 无需严格的传感器网络 时间同步,对网络节点多条路由转发的要求也不高,但仍旧 存在着节点数据资源传送、能量消耗的缺陷问题。

2.2 传统传感器网络发射功率控制算法存在的问题

基于节点度子树的发射功率控制算法是节点分簇拓扑控 制方案, 在网络数据传送中, 通常面临着簇节点通信干扰、 能耗不均等问题 $^{[4]}$ 。假设节点u向距离自身d处的节点v发 送数据包,且节点v处于节点u最大发射半径的范围内,那 么节点u的数据传送包括两种方式:一是节点u、节点v直 接进行数据传输;二是节点 u 经节点 w 等其他节点转发后, 传送至节点 v。

由于无线传感器网络是随机的自组织模型,则根据以上 节点u直接发射功率为 p_a 、经过中继节点w的间接发射功率 为 p_{dl} 、 p_{dl} ,则根据 $\triangle uwv$ 、 $\gamma = \angle uwv$ 的已知条件,可计算 得出的发射功率关系[5]为:

$$p_d^2 = p_{d1}^2 + p_{d2}^2 - 2p_{d1}p_{d2}\cos\gamma \tag{2}$$

由于w 处于节点u 的覆盖区域C 内、 $\cos v < 0$,则根据 式 (2) 可得 $p_d^2 \ge p_d^2 + p_d^2$ 。因而节点 u、节点 v 间的直接数 据传送, 节点 u 消耗的能量较大, 整个无线传感器网络的能 耗不均匀。其中簇首节点的能量消耗包括节点传送数据采集、 数据融合、基站通信能耗,远高于其他普通节点的能耗,且 靠近基站周围节点的数据流量大, 簇首节点的数据信息处理、 传输任务重,可能在网络拥塞情况下造成数据消息碰撞、数 据包丢失等问题。从节约能耗的角度来看,尽可能采用多跳、 短边的簇节点通信传输方式,选择合适的网络节点发射功率, 来降低无线传感器网络数据传送的能量消耗。

3 非均匀分簇 EBUC 拓扑控制算法模型

无线传感器网络的通信数据传送,不仅要考虑簇内节点 间能量的均衡性,还需考虑全局网络的簇间能量均衡性。为 此,基于 EBUC 拓扑控制算法,根据节点自身能量大小、节 点与基站间的距离,将节点的簇设置为不同规模大小,靠近 基站节点的成簇半径小、远离基站节点的成簇半径大,且近 基站的簇首节点,承担着其他节点的通信数据转发任务 [6]。

根据节点剩余能量的大小, 引入候选簇首机制, 让剩余 能量更大、靠近基站的节点成为候选簇首,针对节点到基站 的距离、节点能量参数, 计算出候选簇首的非均匀竞争半径。 其中传感器网络节点处于数据发送状态时能量消耗最高,空 闲、接收状态时能量消耗次之,休眠状态时能量消耗最低, 各状态时的能耗比约为 2000:400:400:1。

假设 $M \times M$ 的监测区域内, 部署着N个传感器节点, 节 点集合表示为 $S=\{S_1, S_2, \dots, S_n, S_N\}$, 节点间通信距离表示为d, 通信距离阈值设置为 d_0 。节点单跳传送1数量级(bit)的消 息至目标节点时,其能量消耗用公式表示为:

$$E_{Tx}(l,d) = \begin{cases} lE_{elec} + l\varepsilon_{fs}d^2 & d < d_0 \\ E_{elec} + l\varepsilon_{mp}d^4 & d \ge d_0 \end{cases}$$
 (3)

式中: E_{elec} 表示节点发送、接收数据的电路能量消耗; ε_{fs} 、 ε_{mn} 分别表示无线传感器网络的信道信号放大参数、衰落信道 参数。由于无线传感器网络中包含簇首、候选簇首、簇成员、 普通节点等的节点, 候选簇首的产生采取竞选机制, 在全局 范围内设置随机数 $T \in (0,1)$, 控制参选候选簇首的节点比例, μ_0 为 (0,1) 之间的常量参数, μ 为参与竞选候选簇首的节点数 量,则候选簇首的竞选机制公式为:

$$\mu = \mu_0 e^{-\frac{E_{resi}}{E_{init}}} \tag{4}$$

式中: E_{init} 、 E_{resi} 分别表示节点 S_i 的初始能量、剩余能量。由 式 (4) 可得, μ_0 值越小、 μ 值越小,则参与竞选的节点剩余 能量越大,剩余能量最大的节点更容易当选为候选簇首节点, 非候选簇首进入睡眠状态[7]。

同时,考虑分簇节点拓扑结构的竞争半径,假设每个节 点存在竞争半径 Rc, Rc 大小与节点到基站距离相关, 距离基 站越近的节点其竞争半径越小, 反之其竞争半径越大。依据 网络节点的剩余能量水平、节点与基站间的距离等参量,计 算候选簇首节点的竞争半径公式为:

$$R_{c} = \left[1 - c \frac{d_{\text{max}} - d_{\text{toBS}}}{d_{\text{max}} - d_{\text{min}}} - \left(1 - c\right) \left(1 - \frac{E_{\text{resi}}}{E_{\text{init}}}\right)\right] R_{\text{max}}$$
 (5)

式中: d_{max} 、 d_{min} 分别表示节点到基站的最大、最小距离; d_{toBS} 表示候选簇首节点到基站的距离; R_{max} 表示网络节点最 大的竞争半径; c为 $0\sim1$ 之间的实数,用于控制能量、距 离等参量对节点竞争半径的影响程度。若两个节点的剩余能 量近乎相等,则比较节点到基站的成簇半径,反之则比较节 点剩余能量; 若 $d_{toBS} \approx d_{max}$ 且 $E_{resi} \approx E_{init}$ 时,则候选簇首节点的 竞争半径 R_c 接近于 R_{max} 。

在网络节点 R_{max} 的竞争半径范围内,所有候选簇首采 取相同的发射功率,对 finde neigCH msg 的通信消息进行 广播,同时每个候选簇首接收其他候选簇首的发射消息。候 选簇首 S_i 的邻居候选簇首集合可设置为 S_i .CH neig, S_i .CH neig= $\{S_i|S_i$ =candihead and $d(S_i, S_i)$ <max $(S_i, R_c, S_i, R_c)\}$ 。 由此计 算出候选簇首的能量之比 Fe,相对于邻居候选簇首的平均能 量势 E_{aver} 如下式 (6) 所示:

$$F_{e} = \frac{E_{resi}}{E_{aver}} \qquad E_{aver} = \frac{\sum_{j=0}^{m} S_{i} \cdot E_{resi}}{m}$$

$$(6)$$

式中: $m=|S_i.CH \text{ neig}|$ 。由式(6)可得出, E_{resi} 值越大, 候 选簇首的能量比值 F_e 越大, 节点剩余能量越高; E_{resi} 值越小, 候选簇首相对于邻居候选簇首的平均能量势 E_{aver} 越高。若候 选簇首 S_i 大于其邻居候选节点的能量比值 F_e ,则表明 S_i 节点 竞选成为正式簇首,待正式簇首 S_i 广播 formal head msg 消 息后,其他候选簇首节点退出竞选。具体 EBUC 算法的执行 模型如图 3 所示[8]。

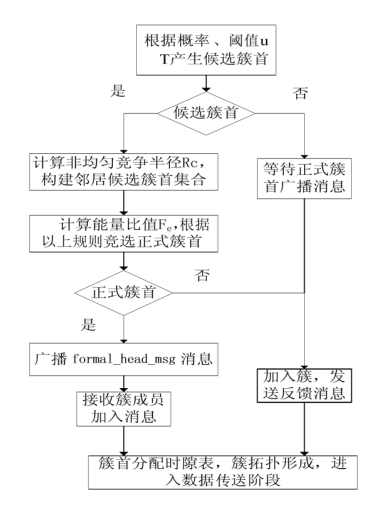


图 3 EBUC 算法的执行模型

4 EBUC 拓扑控制算法的仿真实验与分析

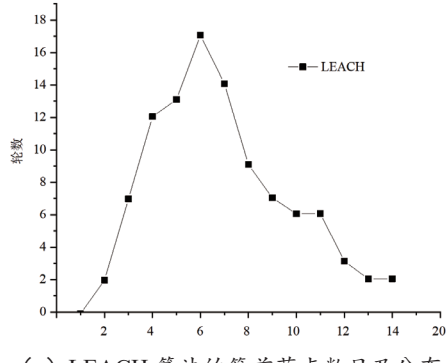
4.1 仿真实验

在无线传感器网络 200 m×200 m 的监测区域, 随机布 撒 N=200 个的传感器节点, 节点初始能量设为 0.5 J, 设置通信距 离阈值 d_0 =87 m,电路损耗 E_{elec} =50 bit,c=0.5,T=0.1, R_{max} =75, 以及 ε_6 =10 nJ/(bit·m²), ε_{mp} =1.3×10³ pJ/(bit·m⁴) 和 E_{DF} =5, 发送的 数据包大小为 4000 bit。其中 c、T、 R_{max} 等参量的取值会影 响候选簇首数目的多少、竞争半径的大小。

利用 TOSSIM 软件搭建 WSN 节点仿真环境,将 EBUC 拓扑控制算法、与 LEACH 经典分簇算法进行对比实验。其 中 LEACH 算法采取单跳的簇间通信模式,根据节点剩余能 量进行通信; EBUC 算法采取多跳路由的簇间通信模式, 在 非均匀竞争半径内,依据节点剩余能量、节点与基站间距离, 竞争并选出正式簇首完成通信。对图 3 的 EBUC 算法执行模 型进行仿真,得到簇首节点数目分布、能量消耗、生命周期 的仿真结果 [9-11]。

4.2 实验结果分析

利用 EBUC、LEACH 分簇算法进行随机 50 轮仿真实验, 统计生成的簇首节点个数及其分布情况、簇首网络能量消耗 的均衡性、网络节点生命周期等结果,得到图4、图5的网 络拓扑算法可靠性的实验结果。



(a) LEACH 算法的簇首节点数目及分布

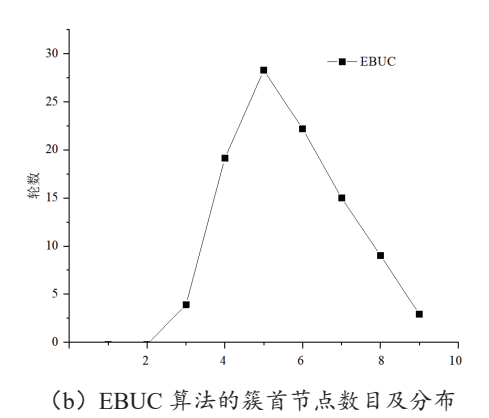


图 4 EBUC、LEACH 算法统计生成的簇首节点个数及其分布情况

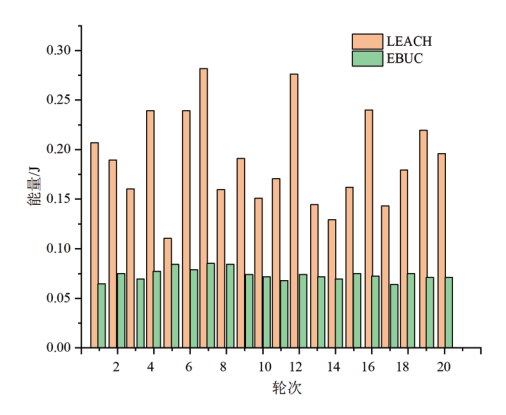


图 5 簇首网络能量消耗均衡性的算法仿真结果

从图 4 的簇首节点个数及其分布情况来看,LEACH 算法簇首数目的波动范围大、集中程度不高,表明其对簇首节点的选择具有随机性。相比而言,EBUC 算法的簇首数目集中度更高,这是由于该算法全局考虑节点剩余能量、节点到基站的距离,基本实现了算法生成的簇首数目、簇首集中程度的有效控制。

有关簇首网络能量消耗的均衡性、节点网络生命周期的仿真结果显示,LEACH 算法的簇首能量消耗之和明显高于EBUC 算法的簇首能耗之和,且LEACH 算法的簇首能量消耗波动也明显高于EBUC 算法。这一现象产生的主要原因在于EBUC 算法采用非均匀分簇拓扑、簇间多跳路由方式,进行监测范围内的节点数据通信传输,降低了低能量节点当选簇头的概率。另外,在经过200~800的轮次后,EBUC 算法的网络节点生命周期优于LEACH 算法,最后一个网络节点死亡时经历了约900轮次,且第一至最后一个节点死亡轮次的时间更短,表明EBUC 算法能够保证簇间能耗的均衡稳定性、延长网络生命期。

5 结语

无线传感器网络作为以数据为中心的自组织、分布式网络,近年来被广泛用于商业医疗、环境监测、建筑节能等领域。 而无线传感器网络搭建、数据通信传输中的拓扑控制是降低 网络能量消耗、节点通信干扰、延长网络生命周期的关键。相比传统的 Internet 网络而言,无线传感器网络具有自组织、分布式、动态变化的拓扑结构,且网络簇节点的传输能力有限、发射能量不均匀。为解决无线传感器网络节点能量、通信能力受限,以及节点发射功率对周围节点干扰的问题,引入 EBUC 拓扑控制算法,设置无线传感器网络的拓扑结构、控制方案,根据非均匀分簇机制,选择骨干的簇首节点、调整节点发射功率,进行簇内、簇间网络数据的处理和转发,并在此过程中合理调度冗余节点、动态控制簇节点的睡眠与运行,来减少簇节点的能量消耗之和,延长网络数据传输的生命周期。

参考文献:

- [1] 朱瑞金,龚雪娇,唐波.分布式混合压缩感知无线传感器 网络数据收集[J]. 计算机工程与应用,2019(6):73-80+112.
- [2] 高翔霄, 俞达, 任月慧, 等. 无线传感器网络数据传输延时分配算法 [J]. 计算机测量与控制, 2020(5):258-262.
- [3] 王伯槐, 李芸芸. 基于无线传感器网络的数据采集系统研究 [J]. 榆林学院学报, 2020(2):80-82.
- [4] 侯明星, 亓慧, 黄斌科. 基于分布式压缩感知的无线传感器网络异常数据处理[J]. 计算机科学, 2020(1):276-280.
- [5] 张屹,陈立军,蒋慧勇.基于大数据的无线传感网络数据采集的研究[J].信息技术与网络安全,2019(9):39-43.
- [6] 王波. 基于物联网的无线传感网络数据采集方法 [J]. 内蒙古民族大学学报(自然科学版),2019(1):9-14.
- [7] 包正睿, 窦琛琛. 面向可充电无线传感器网络的分布式多跳数据采集算法[J]. 电力信息与通信技术,2020(7):8-13.
- [8] 田洪舟, 陈思溢, 黄辉先. 基于改进樽海鞘群算法的无线传感器网络节点定位 [J]. 传感器与微系统, 2021(9):139-141.
- [9] 赵雅坤,徐娟,蒋娇龙.基于 RSSI 与移动锚节点运动轨迹的定位算法 [J]. 计算机工程,2019(1):35-39.
- [10] 王慧娇, 吕奎霖, 蒋华. 基于多功率移动锚节点的 WSN 定位算法 [J]. 计算机工程与设计, 2019(8):2117-2122+2189.
- [11] 段亚青,王华倩,乔学工.基于测距和灰狼优化的无线传感器网络定位算法[J].传感技术学报,2018(12):1894-1899.

【作者简介】

刘华军(1976—),男,湖北仙桃人,高级工程师,研究方向:目标特性与环境构建技术。

(收稿日期: 2024-01-22)